

Faunitaxys

*Revue de Faunistique, Taxonomie et Systématique
morphologique et moléculaire*



Volume 8
Numéro 1

Janvier 2020

ISSN : 2269 - 6016
Dépôt légal : Janvier 2020

Faunitaxys

*Revue de Faunistique, Taxonomie et Systématique
morphologique et moléculaire*

ZooBank : <http://zoobank.org/79A36B2E-F645-4F9A-AE2B-ED32CE6771CC>

Directeur de la publication, rédacteur, conception graphique et PAO:

Lionel Delaunay

Cette revue ne peut pas être vendue
Elle est distribuée par échange aux institutions (version papier)
et sur simple demande aux particuliers (format PDF)
à l'adresse suivante:

AFCFF

28, rue Voltaire, F- 42100 Saint Etienne

E-mail: lionel.delaunay@free.fr

Elle est disponible librement au téléchargement à partir du site:

<http://faunitaxys.fr/>

La parution de *Faunitaxys* est apériodique

Imprimée sur les presses de SPEED COPIE
6, rue Tréfilerie, F- 42100 Saint-Etienne

Imprimé le 10 janvier 2020

Étude du genre *Parolesthes* Vitali, Gouverneur & Chemin, 2017 (Coleoptera, Cerambycidae, Cerambycini)

PHILIPPE JACQUOT

85 impasse Charlotte Berrang, F-26740 Montboucher-sur-Jabron, France - cerambyphil@gmail.com
- ZooBank : <http://zoobank.org/E01BC4EB-1DA7-4E1F-9C4E-01CC1829FFBA>

Mots-clés :

Coleoptera ; *macroculus* ;
Cerambycidae ; Vietnam ;
Cerambycini ; Laos ;
Parolesthes ; nouvelle espèce-type ;
vietnamica ; nouvelle combinaison ;
magdalenae ; nouvelles espèces.

Résumé. – Le genre monospécifique *Parolesthes* Vitali, Gouverneur & Chemin, 2017 est étudié. L'espèce-type du genre, *Parolesthes laosensis* (Gressitt & Rondon, 1970), est transférée dans le genre *Trirachys* : *Trirachys laosensis* (Gressitt & Rondon, 1970) **n. comb.** Une nouvelle espèce-type est désignée et décrite : *Parolesthes vietnamica* **n. sp.** Deux autres espèces du Vietnam sont décrites : *Parolesthes magdalenae* **n. sp.** et *Parolesthes macroculus* **n. sp.** Une clé d'identification du genre *Parolesthes* est proposée ainsi qu'une petite étude sur l'évolution des antennes des mâles de *Parolesthes vietnamica* **n. sp.** en fonction de leur taille.

Jacquot P., 2020. – Étude du genre *Parolesthes* Vitali, Gouverneur & Chemin, 2017 (Coleoptera, Cerambycidae, Cerambycini). *Faunitaxys*, 8(1) : 1 – 5.

ZooBank : <http://zoobank.org/A2C344D0-83C3-4A8F-BDBA-EDF1538C1957>

Introduction

La découverte d'une espèce inconnue du genre *Parolesthes* Vitali, Gouverneur & Chemin, 2017, confirmée par mon collègue Greg Zubrzycki qui possède également cette espèce en collection, m'a conduit à la comparer à l'unique espèce du genre : *Parolesthes laosensis* (Gressitt & Rondon, 1970). Cet examen a montré que l'espèce-type ne correspondait pas aux nombreux spécimens du Vietnam jusqu'alors identifiés comme *P. laosensis* et conformes à la description du genre. Celle-ci fut réalisée à partir d'une unique photographie du type laotien de Gressitt & Rondon (1970) et de plusieurs exemplaires provenant du Vietnam [voir le matériel examiné par Vitali, Gouverneur & Chemin (2017)]. Ni la photographie du type, ni sa description ne permettent de conclure à la présence d'une carène inter-oculaire en forme de "Y" qui est caractéristique du genre. On observe par ailleurs que le type présente des antennomères de longueur différentes (antennomère III = 6 fois II et 1,8 fois IV) par rapport aux espèces vietnamiennes (antennomère III = 5 fois II et 1,5 fois IV), ainsi que des marbrures différentes sur les élytres. Les exemplaires du Laos sont nettement plus petits : 28,5 à 34 mm d'après Gressitt & Rondon, (1970), tandis que les exemplaires du Vietnam mesurent 36 à 43 mm d'après la description ci-dessous. Enfin, je possède un exemplaire du Vietnam entièrement conforme à la photographie du type du Laos et à sa description originale et chez lequel la carène interoculaire supérieure n'est pas bifurquée vers l'arrière (Fig. 1).

Pour toutes ces raisons je désigne une nouvelle espèce-type pour le genre *Parolesthes*.

Parolesthes Vitali, Gouverneur & Chemin, 2017

Espèce-type désignée ici (conformément à l'article 70.3 du Code International de Nomenclature Zoologique, 1999) :

Parolesthes vietnamica **n. sp.**, identifiée par erreur comme *Aeolesthes laosensis* Gressitt & Rondon, 1970 dans la désignation originale, par Vitali, Gouverneur & Chemin (2017).

Discussion. – *Parolesthes laosensis* (Gressitt & Rondon, 1970) est un insecte présentant une pilosité dense à reflets variables selon l'incidence de la lumière, des antennes inermes en position endo-

apicale et beaucoup plus longues que le corps, un scape transversalement plissé sur le dessus, une large carène inter-oculaire supérieure rectiligne, un pronotum transverse et inerme muni d'une plaque médiane lisse échancrée en "V" inversé à sa base, un apex élytral avec une épine suturale et une dent marginale, des fémurs inermes. Ces caractères sont propres au genre *Trirachys*. Je propose donc d'intégrer cette espèce dans ce dernier genre : *Trirachys laosensis* (Gressitt & Rondon, 1970) **n. comb.**

La nouvelle espèce-type est logiquement choisie parmi des exemplaires correspondants à l'espèce vietnamienne qui servit de base à la description du genre *Parolesthes*. Deux nouvelles espèces provenant du Vietnam viennent compléter ce genre.

Remarque. – *Trirachys laosensis* (Gressitt & Rondon, 1970) a pour originalité d'être le seul représentant du genre à posséder jusqu'à présent les trois caractères associés suivants :

- plaque pronotale médiane lisse,
- scapes plissés transversalement,
- antennomères sans épine endo-apicale.

Matériel étudié. – 1 ♂ (35,7 mm), Vietnam, Quan Nam prov., Tây Giang distr., Axan m., 1300 m, III.2019, local coll., in coll. Philippe Jacquot, Montboucher-sur-Jabron, France (Fig. 2 et 3).

Parolesthes vietnamica **n. sp.**

(Fig. 4 - 8)

ZooBank : <http://zoobank.org/F94D990F-2C01-4D26-9C3F-6DC8676CFF1B>

Holotype, ♂. – Vietnam, Quan Nam prov., Tây Giang distr., Axan m., 1300 m, III.2018, local coll., in coll. Philippe Jacquot, Montboucher-sur-Jabron, France.

Paratype (12 ex.) :

- 1 ♂ et 1 ♀, mêmes données que le type.
- 1 ♂ et 3 ♀ mêmes données que le type, mais IV. 2017.
- 1 ♂ et 5 ♀, mêmes données que le type, mais III. 2019.

Description de l'habitus ♂

Dimensions. – Longueur 36-43 mm. – Largeur bi-humérale 8,5-11,5 mm.

Allure générale. – Corps oblong, téguments entièrement bruns. Pilosité globale brun-jaunâtre brillant.

Tête. – 0,8 fois la largeur du pronotum. – *Front* profondément perforé à la base de chaque tubercule antennaire, délimitant une zone centrale plus ou moins ronde. Espace inter-antennaire fendu d'un profond sillon séparé de chaque tubercule par un large bourrelet. Ce sillon s'élargit et se transforme en crête en arrière des tubercules antennaires. Celle-ci se divise en deux à hauteur du milieu des lobes oculaires et est elle-même sillonnée dans son axe sur toute la longueur qui est en regard de ces mêmes lobes. La limite postérieure de la crête chute brutalement pour former une dépression qui donne naissance à un sillon longeant obliquement le bord postérieur des lobes oculaires sur une courte distance. – *Gula* bombée, 1,8 fois plus large que le lobe oculaire adjacent et séparée du submentum par un sillon transversal faiblement anguleux au centre vers l'avant. – *Pilosité* de la tête courte, couchée, irrégulièrement répartie, à reflets variables. – *Antennes* longues dépassant l'apex élytral entre le dernier tiers du 7^{ème} et le premier quart du 8^{ème} antennomère. Antenne 2,7 à 3,6 fois plus longue qu'un élytre, selon la taille du spécimen (voir diagrammes 1 et 2 en annexe). – *Scape* cylindrique, plissé, courbé dorso-ventralement et de même longueur que 4. Article 3 sensiblement aussi long que 5 et 1,5 fois plus long que 4. Les articles 6 à 11 de longueur variable en fonction de la taille de l'insecte (voir diagramme 3 en annexe). Article 11 régulièrement courbé. Articles 3 à 5 un peu renflés à leur extrémité, 7 à 10 et tiers apical de 6 élargis extérieurement en lame sans dent apicale, 11 aplati en forme de lamelle.

Pronotum. – Transverse ($L/l = 0,9$). – *Bord* antérieur droit, bord postérieur longuement mais peu profondément échancré. – *Côtés* régulièrement arrondis avec la plus grande largeur au milieu. Constriction antérieure et postérieure. – *Disque* muni d'une zone médiane surélevée délimitée par deux sillons très sinueux. Position de cette plaque à surface cabossée, entre les 1/5^{ème} et 3/5^{èmes} basaux de la longueur du pronotum. Reste de la surface du pronotum formé de l'enchevêtrement de crêtes et de sillons très sinueux. – *Pilosité* courte, irrégulière, à reflets variables. – *Ponctuation* fine, dense sur les crêtes, éparsée dans les sillons et très dense sur la plaque discale, à l'exception d'une ligne axiale lisse.

Elytres. – Très régulièrement rétrécis. $L/l = 2,5$. – *Apex* tronqué très légèrement en biais avec une petite épine suturale et un angle latéral droit mais non denté. – *Surface élytrale* couverte d'une pubescence dense et diversement orientée, conférant des reflets variables selon l'incidence de la lumière (à noter que tous les individus d'une même espèce, présentent exactement les mêmes reflets). – *Ponctuation* très fine et très serrée, couvrant la totalité des élytres.

Pattes. – Fines, tibias droits, fémurs à peine fusiformes. – *Métafémurs* n'atteignant pas l'apex des élytres et 1,10 à 1,15 fois plus longs que les métatibias. – *Métatarses* avec longueur segment 1 = 2 + 3 réunis.

Face ventrale. – *Pilosité* irrégulière plus dense sur les côtés que dans l'axe médian. – *Prosternum* avec un sillon collaire et un sillon transversal en avant des hanches. – *Processus prosternal* formé d'un bourrelet central, d'un bourrelet le long de chaque hanche et terminé en forme de bouton simple ou dédoublé à l'apex. – *Mésosternum* très échancré entre les épiphyses qui s'insèrent dans les hanches et sillonné entre les hanches. – *Métasternum* présentant une petite zone de dépression arrondie juste avant la pointe antérieure. – *Cinquième sternite* à bord droit.

Genitalia. – *Paramères* muni de lobes étroits 1,5 fois plus larges que l'espace qui les sépare. La forte *pilosité* sur les lobes masque l'apex de ceux-ci. – *Édéage* avec un pedon fin et pointu, un tectum dont la partie chitinisée postérieure forme une fourche aux 6/10^{èmes} de la longueur antérieure de l'édéage.

Description de l'habitus ♀

Dimensions. – Longueur = 38-43 mm. – Largeur bi-humérale = 10-11 mm. – *Gula* 1,7 à 1,8 fois plus large que le lobe oculaire adjacent.

Antennes. – Dépassant légèrement l'extrémité des élytres. Article 3 est 1,2 fois plus long que 5, 1 est 1,2 fois plus long que 4, 6 à 10 progressivement de plus en plus court. 11 = 9. Articles 6 à 9 faiblement dentés extérieurement à l'apex. Article 11 à peine courbé.

Pronotum. – Bord postérieur bisinué. – *Métafémurs* n'atteignant pas l'apex des élytres.

Face ventrale. – Apex du processus prosternal en forme de bouton double. – *Mésosternum* parfois faiblement sillonné entre les hanches, avec une faible crête au milieu de ce sillon. La petite dépression à l'apex du

métasternum subsiste parfois sous forme d'une courte ride transversale peu profonde. *Cinquième sternite* nettement et régulièrement arrondi à l'apex.

Les autres caractères sont identiques à ceux du mâle.

Diagnostic différentiel. – La première espèce du genre ne peut être comparée à aucune autre. Les différences entre espèces seront traitées dans la monographie de chaque nouvelle espèce décrite ci-après. *Parolesthes* est le seul genre à présenter une crête inter-oculaire fourchue vers l'arrière. Il s'agit là d'une caractéristique diagnostique¹ du genre dans la tribu des *Cerambycini*.

Remarque. – L'étude de quatre mâles aux antennes d'inégale longueur m'a tout d'abord fait penser qu'il pouvait s'agir là de deux espèces ou sous-espèces différentes, sachant que les deux plus petits mâles ont des antennes 2,7 et 2,8 fois plus longues que les élytres, tandis que les deux plus grands ont des antennes 3,1 et 3,6 fois plus longues que les élytres. L'existence de deux sous-espèces différentes est fortement improbable puisque tous ces exemplaires ont été capturés au même endroit et qu'il aurait donc dû se produire une hybridation entre les deux sous-espèces avec disparition des caractères différentiels entre elles. La possibilité d'avoir deux espèces différentes m'a fait rechercher d'autres différences anatomiques, mais à part un pronotum aux rides moins marquées chez le plus petit exemplaire, seule la longueur des antennes pouvait être retenue. La mesure précise de ce dernier caractère et sa comparaison avec la longueur des élytres m'a alors fait comprendre que ces deux paramètres étaient liés par une relation de proportionnalité (voir annexe en fin d'article).

Derivatio nominis. – Du lieu de sa découverte, le Vietnam.

Parolesthes magdalenae n. sp.

(Fig. 9 & 10)

ZooBank : <http://zoobank.org/1419E8EF-BC27-46A7-B4A8-FAA4B3472095>

Holotype, ♂. – Vietnam, Lâm Dong prov., Đà Lat, VI.2019, local coll., in coll. Philippe Jacquot, Montboucher-sur-Jabron, France.

Paratype (4 ex.) :

– 2 ♂ Vietnam, Quan Nam prov., Tây Giang distr., Axan m^l, 1300 m, VI.2019, local coll., in coll. Greg Zubrzycki, Gdansk, Pologne.

– 1 ♂ et 1 ♀, mêmes données, mais VIII. 2019.

Description de l'habitus ♂

Dimensions. – Longueur 32-38 mm. – Largeur bi-humérale 8,0-9,5 mm.

Allure générale. – *Corps* allongé. – *Téguments* brun-noirâtres à brun-rougeâtres. – *Pilosité* jaune-paille sur la tête et le pronotum, beige sur les élytres et beige-jaunâtre sur la face ventrale.

Tête. – 0,8 fois la largeur du pronotum. – *Front* avec une zone centrale arrondie bien délimitée sauf la partie postérieure qui est en connexion avec l'espace inter-antennaire. Celui-ci est traversé par un sillon longitudinal peu profond. La zone qui le sépare des tubercules antennaires est plate, sans bourrelets. – *Carène* en arrière de ce sillon courte et divisée à hauteur du milieu des lobes oculaires. Les deux branches de la carène sont séparées par un court sillon peu profond, suivi sur le *vertex* par une petite fosse, d'où partent deux sillons longeant brièvement l'arrière des lobes oculaires supérieurs. – *Gula* 2,3 fois plus large que le lobe oculaire adjacent. Elle est séparée du *submentum* par un large sillon transversal courbé dont la limite postérieure peut parfois se soulever pour former une fine crête transversale qui divise la gula en deux parties inégales. – *Pilosité* de la tête relativement dense et régulière. – *Antennes* très longues atteignant le sommet des élytres avant l'extrémité du 7^{ème} antennomère. Une antenne est 3,9 fois plus longue qu'un élytre. – *Scape* anguleux, légèrement élargi à l'apex, nettement plissé sur sa partie supéro-interne. Dimensions relatives des antennomères : 0,91-0,21-1,00-0,73-0,97-1,73-1,94-2,06-2,21-2,18-4,27. Antennes fines à section ovale, très faiblement élargies en lame à partir de l'apex du segment 6, non dentées. Articles 3 à 5 un peu renflés à leur apex. Articles 8 à 10 légèrement courbés, article 11 aplati et surtout courbé sur son dernier tiers.

¹ Par analogie avec l'anthropologie : caractère utilisé pour reconnaître et définir un taxon. D'après *Notre préhistoire, la grande aventure de la famille humaine*, Sophie A. de Beaune & Antoine Balzeau, éd. Belin, 2016, page 110.

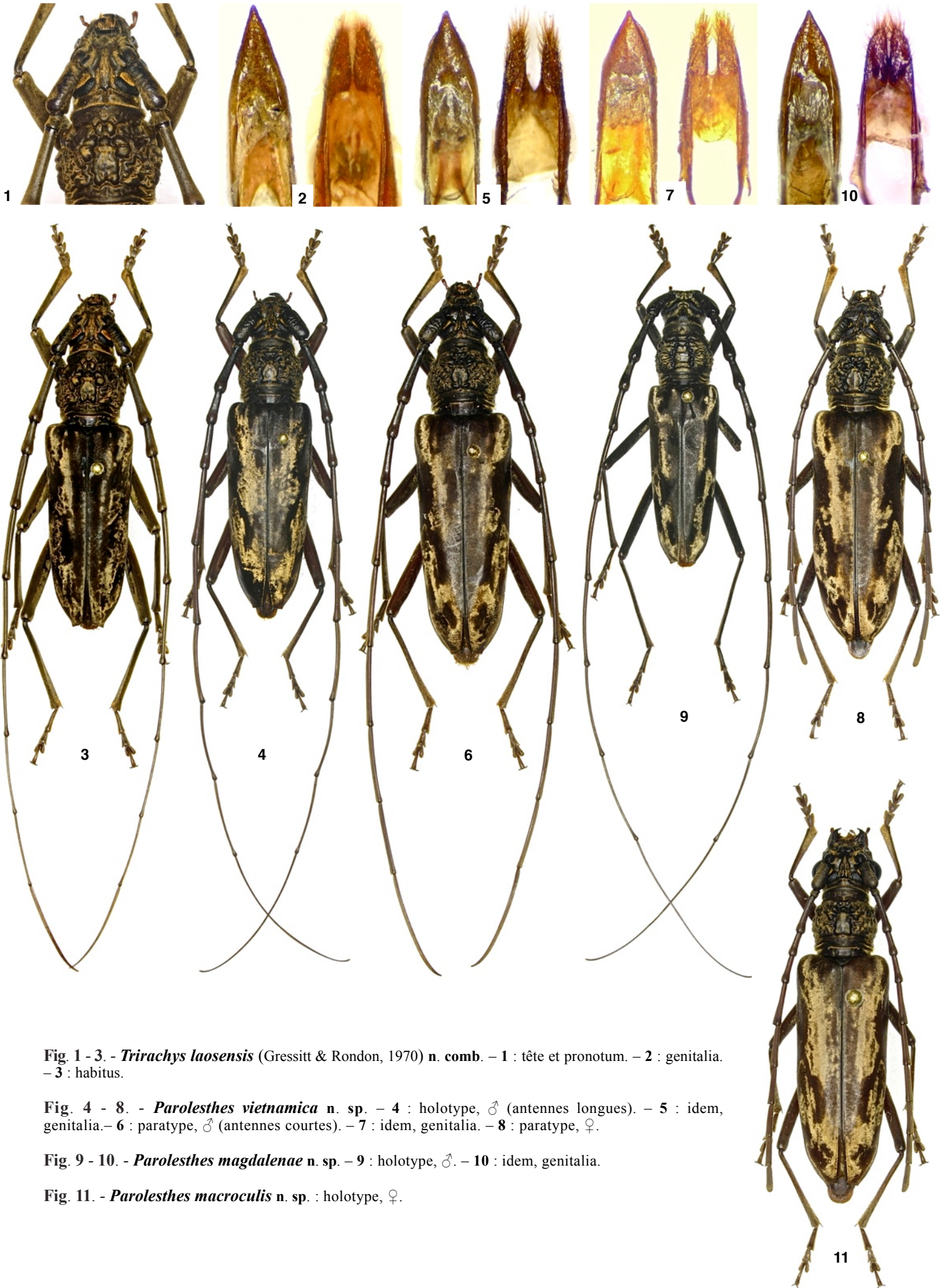


Fig. 1 - 3. - *Trirachys laosensis* (Gressitt & Rondon, 1970) n. comb. – 1 : tête et pronotum. – 2 : genitalia. – 3 : habitus.

Fig. 4 - 8. - *Parolesthes vietnamica* n. sp. – 4 : holotype, ♂ (antennes longues). – 5 : idem, genitalia. – 6 : paratype, ♂ (antennes courtes). – 7 : idem, genitalia. – 8 : paratype, ♀.

Fig. 9 - 10. - *Parolesthes magdalenae* n. sp. – 9 : holotype, ♂. – 10 : idem, genitalia.

Fig. 11. - *Parolesthes macroculis* n. sp. : holotype, ♀.

Pronotum Faiblement transverse ($L/l = 0,94$). – *Bord* antérieur droit, bord postérieur longuement bi-sinué. – *Côtés* régulièrement arrondis avec une constriction antérieure plus forte que la constriction basale. – *Disque* avec une zone médiane surélevée très nettement séparée des zones adjacentes par deux larges sillons longitudinaux très sinueux. Position de la plaque médiane entre les 1/5^{ème} et les 3/5^{èmes} basaux de la longueur du pronotum. Les rides et les crêtes du pronotum forment des plis majoritairement transversaux qui strient également la plaque médiane.

Elytres. – 2,5 fois plus longs que larges, régulièrement rétrécis de la base à l'apex. Celui-ci légèrement tronqué en biais avec une petite épine suturale et une courte dent latérale. – *Disque* légèrement déprimé au niveau du tiers basal de la longueur des élytres. – *Pilosité* courte et couchée dans diverses direction, conférant à la surface des reflets bruns foncés mats ou brun-jaunâtres brillants selon l'incidence de la lumière sur les élytres. – *Ponctuation* double : une foncière très fine et dense, donnant naissance à chaque poil, une seconde plus large, éparse et régulière, se superposant à la première.

Pattes. – Très fines et longues. – *Tibias* rectilignes. – *Fémurs* droits non fusiformes. – *Métafémurs* dépassant l'apex des élytres et 1,1 fois plus longs que les métatibias. Face inférieure des métafémurs plate, ce qui crée un angle aigu bien visible sur les deux côtés longeant cette surface. – *Premier métatarsomère* 1,25 fois plus long que les deux suivants réunis.

Face ventrale. – Densément et régulièrement couverte d'une fine pilosité beige plus ou moins jaunâtre. – *Prosternum* avec deux sillons transversaux : un collaire et un en avant des hanches. – *Processus prosternal* légèrement bombé dans l'axe médian et entouré de deux bourrelets le long des hanches. – *Apex* dans la même configuration. – *Cinquième sternite* à apex tronqué en léger chevron rentrant.

Genitalia. – *Paramères* avec des lobes larges, rapprochés et couverts d'une pilosité qui ne masque pas leur extrémité. – *Lobes* 9 fois plus larges que l'espace qui les sépare. – *Tectum* dont la partie chitinisée postérieure forme une fourche aux 7/10^{èmes} de la longueur antérieure de l'édéage.

Description de l'habitus ♀

Dimensions. – Longueur 34 mm. – Largeur bi-humérale 8,7 mm. – *Gula* 1,9 fois plus large que le lobe oculaire adjacent.

Antennes. – Dépassant les élytres de deux articles. Dimensions relatives des antennomères : 1,09-0,22-1,00-0,91-1,13-1,57-1,61-1,48-1,30-1,04-0,96. Articles 6-10 droits et faiblement dentés extérieurement à l'apex. Article 11 légèrement courbé sur toute sa longueur.

Pattes. – *Métafémurs* n'atteignant pas l'apex des élytres.

Face ventrale. – *Métasternum* avec une petite dépression médiane avant l'apophyse apicale.

Les autres caractères sont identiques à ceux du mâle.

Derivatio nominis. – Espèce dédiée à la fille de mon collègue polonais Greg Zubrzycki.

Diagnostic différentiel. – Cette espèce est assez proche de l'espèce précédemment décrites et elle s'en différencie par la longueur de ses antennes (presque 4 fois plus longues qu'un élytre contre 2,7 à 3,5 fois chez *P. vietnamica* n. sp.), par les larges sillons longitudinaux du pronotum et les plis orientés transversalement, par des élytres avec une ponctuation large et éparse bien visible, par des métafémurs dépassant l'apex élytral chez le mâle et par des paramères aux lobes larges, moins pileux et séparés l'un de l'autre par un espace réduit.

Parolesthes macroculis n. sp.

(Fig. 11)

ZooBank : <http://zoobank.org/5D84A2DB-A4CA-4B9E-9C2D-17F68A9C697B>

Holotype, ♀. – Vietnam, Quan Nam prov., Tây Giang distr., Axan m^l, 1300 m, III.2019, local coll., in coll. Philippe Jacquot, Montboucher-sur-Jabron, France.

Description de l'habitus ♀

Dimensions. – Longueur 33,0 mm. – Largeur bi-humérale 8,4 mm.

Allure générale. – *Corps* oblong, brun-rouge à noirâtre, plus foncé sur la tête et le pronotum. – *Pilosité* jaune dorée sur la tête et le pronotum, brune jaunâtre sur les élytres.

Tête. – 1,1 fois plus large que le pronotum. – *Yeux* très proéminents sur le côté. – *Front* avec une zone centrale ovale bien délimitée par les perforations situées à la base des tubercules antennaires et prolongées en arc de cercle de chaque côté du front. – *Sillon inter-antennaire* en forme de "V" ouvert vers l'arrière où apparaît une crête s'arrêtant au niveau de la limite postérieure des lobes oculaires supérieurs. Ce sillon est séparé des tubercules par un large bourrelet. – *Crête* sillonnée longitudinalement et peu profondément sur toute la longueur comprise entre la limite postérieure des tubercules et celle des lobes oculaires supérieurs. Elle se divise en deux juste avant son extrémité. Elle est séparée des yeux par un fin bourrelet en relief. Un court sillon souligne le bord postérieur des lobes oculaires supérieurs. – *Gula* 1,5 fois plus large que le lobe oculaire adjacent et séparée du submentum par un fin sillon légèrement courbé vers l'avant et du cou, par un sillon rectiligne plus large se prolongeant juste derrière les lobes oculaires inférieurs. – *Ponctuation* et *pilosité* irrégulières. – *Antennes* atteignant l'extrémité des élytres. – *Scape* lisse, cylindrique. – *Antennomères* 6 à 10 faiblement dentés extérieurement à l'apex. Dimensions relatives des antennomères : 0,8-0,17-1,00-0,59-0,69-1,08-1,05-0,91-0,83-0,73-0,73.

Pronotum. – Transverse ($L/l = 0,9$). – *Bord* antérieur droit et postérieur faiblement bisinué. – *Côtés* régulièrement arrondis avec une forte constriction apicale et une faible constriction basale. – *Disque* possédant une plaque lisse bien délimitée par deux sillons faiblement sinueux. Reste de la surface formée bourrelets enchevêtrés assez grossiers. – *Ponctuation* et *pilosité* denses sur les zones en relief et rare sur les zones en creux.

Elytres. – *Bords* parallèles se rétrécissant juste avant l'apex. Celui-ci est sinueusement tronqué avec une minuscule épine suturale et un angle obtus marginal. – *Surface* des élytres marbrée et dont les motifs varient selon l'incidence de la lumière sur les poils brillants. – *Ponctuation* invisible sous la forte densité de la pilosité de poils courts et couchés.

Pattes. – Plutôt courtes avec les métafémurs qui atteignent le 4ème sternite mais pas l'apex des élytres. – *Métafémur* de même longueur que le *métatibia*. – *Premier métatarsomère* de même longueur que les deux suivants réunis.

Face ventrale. – Entièrement couverte d'une *pilosité* brillante à reflets variables (bien visible en regardant l'insecte depuis la tête). – *Prosternum* avec les deux sillons habituels. – *Processus prosternal* assez plat avec un faible bourrelet de chaque côté et sans bouton terminal. – *Métasternum* avec une pointe apophysaire brusquement surélevée par rapport au reste de sa surface. – *Dernier sternite* très arrondi.

– Mâle inconnu.

Derivatio nominis. – Contraction du mot latin *ocularis* (relatif aux yeux) avec le préfixe "macro" (grand).

Diagnostic différentiel. – Cette espèce est facilement identifiable grâce à ses yeux de grande taille, qui procurent à la tête une largeur dépassant celle du pronotum. Elle se distingue également par le sillon inter-antennaire en forme de "V" (chez les autres espèces, le sillon est rectiligne entre les tubercules antennaires puis il s'évase en forme de "V" entre les lobes oculaires supérieurs) et par la crête inter-oculaire supérieure très faiblement divisée en position postérieure.

Remerciements

Je remercie chaleureusement Greg Zubrzycki pour m'avoir transmis de nombreuses photographies de ses exemplaires de *Parolesthes magdalanae* n. sp. Je remercie Xavier Gouverneur pour m'avoir fourni la photographie du type d'*Aeolesthes laosensis* Gressitt & Rondon, 1970 et pour le remarquable travail effectué sur ce groupe difficile de *Cerambycini* aux élytres mordorées en collaboration avec Francesco Vitali et Gérard Chemin que je remercie tout aussi vivement. Travail sans lequel cet article n'aurait certainement pas vu le jour. Un grand merci à mon frère Bruno Jacquot, professeur agrégé de mathématique, pour son aide concernant l'élaboration des diagrammes.

Clé de détermination des *Parolesthes* Vitali, Gouverneur & Chemin, 2017, du Vietnam

1. Largeur de la tête supérieure à la largeur du pronotum *P. macroculis* n. sp.
 — Largeur de la tête inférieure à la largeur du pronotum 2
2. Ponctuation des élytres double (dense et fine + éparses et large), métafémurs dépassant l'apex élytral, plis du pronotum maroïtairement transversaux *P. magdalenae* n. sp.
 — Ponctuation des élytres simple, métafémurs ne dépassant pas l'apex élytral, plis du pronotum sans direction définie *P. vietnamica* n. sp.

Références

Vitali, Gouverneur & Chemin, 2017. – Revision of the tribe Cerambycini: redefinition of the genera *Trirachys* Hope, 1843, *Aeolesthes* Gahan, 1890 and *Pseudoaeolesthes* Plavilstshikov, 1931 (Coleoptera, Cerambycidae). *Les Cahiers Magellanes*, NS, 26 : 40-65.

Annexes

Diagramme 1 : courbe de tendance linéaire, coefficient de détermination $R^2 = 0,9647$, équation $Y = 0,135X + 15,495$.

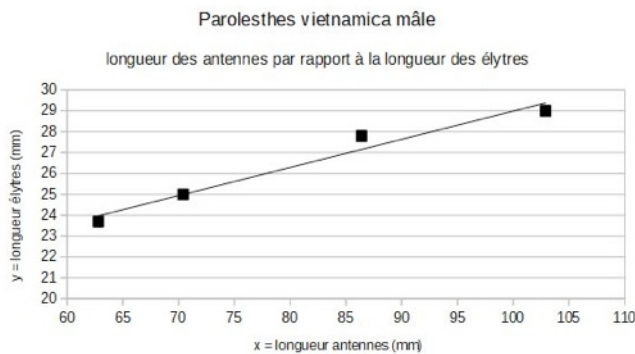
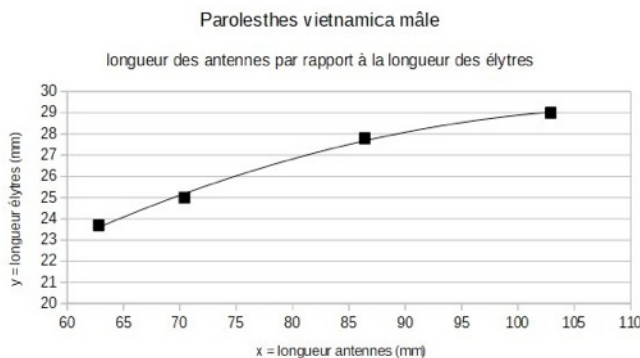


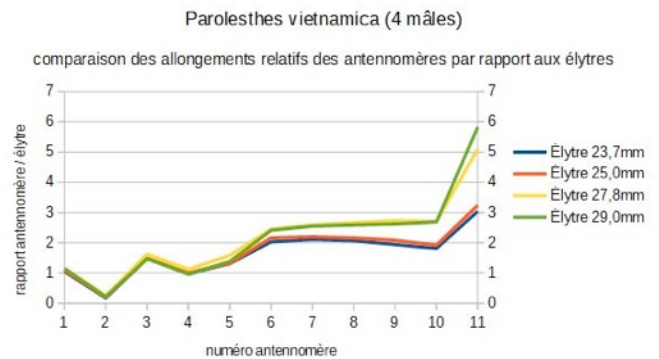
Diagramme 2 : courbe de tendance polynomiale, coefficient de détermination $R^2 = 0,9966$, équation $Y = -0,0022695X^2 + 0,512X + 0,415$.



Le coefficient de détermination R^2 permet d'apprécier la qualité de l'interpolation (construction d'une formule mathématique à partir d'un nombre fini de points). Plus celle-ci est juste, plus R^2 est proche de 1.

Les deux diagrammes ont été construits à partir des mesures prises sur quatre mâles. Avec $X =$ longueur des antennes et $Y =$ longueur des élytres, les deux équations obtenues permettent de donner une relation linéaire ou polynomiale entre ces deux valeurs. Chez *Parolesthes vietnamica* n. sp., l'équation linéaire indique que les antennes ne sont pas proportionnelles à la longueur des élytres, mais qu'elles sont d'autant plus longues que l'insecte est grand. L'équation polynomiale permet une meilleure approximation de la relation entre la taille des antennes et celle des élytres.

Diagramme 3 : Ce diagramme permet de comprendre de quelle manière s'effectue l'accroissement des antennes en étudiant l'accroissement de chaque antennomère.



La valeur en ordonnée a été calculée avec les élytres mesurés en mm et les antennomères mesurés en unité du micromètre de ma loupe binoculaire sur son plus faible grossissement ($\times 6,5$) soit une unité = $147\mu\text{m}$.

Les courbes figurant la longueur relative de chaque antennomère par rapport à la longueur des élytres pour les quatre mâles étudiés sont quasiment confondues jusqu'à l'antennomère 5. Ce qui signifie que ce ne sont pas ces cinq premiers articles qui sont impliqués dans l'accroissement de l'antenne, mais les articles suivants. L'accroissement s'accélère progressivement entre le 6^{ème} et le 10^{ème} article puis devient beaucoup plus important avec le dernier article. Cet accroissement est naturellement plus visible entre la paire des deux plus petits mâles et celle des deux plus grands. Ce genre d'étude n'ayant, à ma connaissance, jamais été réalisée dans la famille des cérambycides, il pourrait être intéressant de savoir si d'autres taxons présentent également ce genre de relation antennes-élytres.

Abstract.

Jacquot P., 2020. – Study of the genus *Parolesthes* Vitali, Gouverneur & Chemin, 2017 (Coleoptera, Cerambycidae, Cerambycini). *Faunitaxys*, 8(1) : 1 – 5.

The monospecific genus *Parolesthes* Vitali, Gouverneur & Chemin, 2017 is studied. The type species of the genus, *Parolesthes laosensis* (Gressitt & Rondon, 1970), is transferred into the genus *Trirachys* : *Trirachys laosensis* (Gressitt & Rondon, 1970) n. comb. A new type species is appointed and described : *Parolesthes vietnamica* n. sp. Two other species from Vietnam are described : *Parolesthes magdalenae* n. sp. and *Parolesthes macroculis* n. sp. An identification key for the genus *Parolesthes* is proposed as well as a small study on the evolution of the antennae of the males of *Parolesthes vietnamica* n. sp. according to their size.

Keywords. – Coleoptera, Cerambycidae, Cerambycini, *Parolesthes*, *vietnamica*, *magdalenae*, *macroculis*, Vietnam, Laos, new type species, new combinations, new species.

Faunitaxys

Volume 8, Numéro 1, Janvier 2020

SOMMAIRE

Étude du genre *Parolesthes* Vitali, Gouverneur & Chemin, 2017 (Coleoptera, Cerambycidae, Cerambycini)
Philippe Jacquot 1 – 5

CONTENTS

Study of the genus *Parolesthes* Vitali, Gouverneur & Chemin, 2017 (Coleoptera, Cerambycidae, Cerambycini)
Philippe Jacquot 1 – 5

Illustration de la couverture : Pont Long Bien, construit par Eiffel à Hanoi, Vietnam. En partie détruit par les bombardements pendant la guerre du Vietnam (3 VII 2005).

Crédits photos:

© **Philippe Jacquot** : Fig. 1 - 11.
© **Pierre De Hanscutter** : Couverture.

Publié par l'Association Française de Cartographie de la Faune et de la Flore (AFCFF)